

# Лабораторная работа №1. Дискретизация и квантование сигналов.

Третьяк Илья Дмитриевич ([Tretyak01D@gmail.com](mailto:Tretyak01D@gmail.com))

ПМ-31. Вариант  $20 + 1 = 0 + 1 = 1 \pmod{4}$

## Часть 1. Исследование эффектов дискретизации.

### Цель работы:

Исследование влияния частоты дискретизации на спектр дискретных сигналов.

### Ход работы:

1. Синтезировать конечный сигнал  $x(t) = \sin(2\pi\nu_1 t) + \sin(2\pi\nu_2 t)$ ,  $0 \leq t \leq 1$ .

Вариант 1 предполагает значения  $\nu_1 = 20$ ,  $\nu_2 = 67$ . Для синтеза сигнала использовалась функция MATLAB GenerateSignal

```
function output_signal = GenerateSignal(t_min,t_max,t_step,nu)
%Функция генерации сигнала представляющего собой сумму синусов с набором
%частот nu (массив частот)

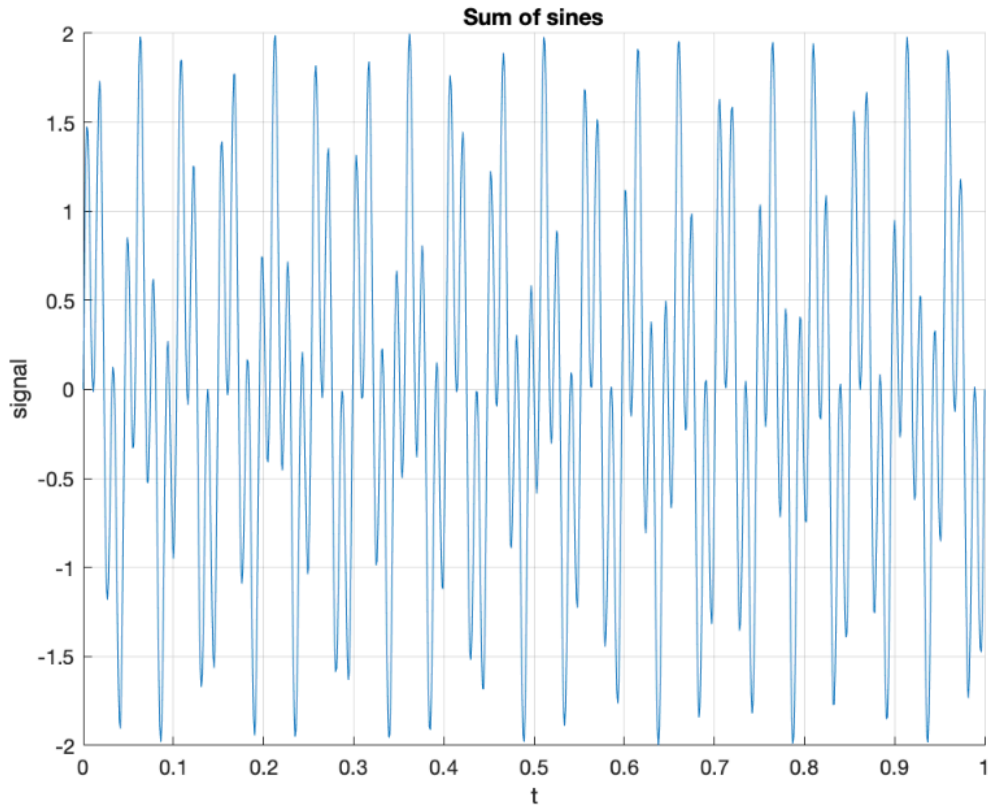
t = [t_min:t_step:t_max];
output_signal = sin(2*pi*nu(1).*t) + sin(2*pi*nu(2).*t);

hold on; grid on;
plot(t, output_signal)
title('Sum of sines'); xlabel('t'); ylabel('signal');
end
```

Для реализации в main-файле использовалась следующая реализация с иллюстрацией синтезированного сигнала:

```
clear; clc;
%Входные-параметры-для-генерации-сигнала
t_min = 0;
t_max = 1;
t_step = 10^(-3);
nu = [20, 67];

%Генерация-сигнала
signal = GenerateSignal(t_min,t_max,t_step,nu);
```



2. Определить допустимые значения частоты дискретизации  $f_s$  для  $x(t)$ .

Для определения частоты дискретизации используем соотношение  $f_s > 2F_{max}$ . Тогда задача сводится к определению частоты  $F_{max}$ .

- Аналитически

$$\begin{aligned}
 S(\nu) &= \int_{-\infty}^{+\infty} [\sin(2\pi\nu_1 t) + \sin(2\pi\nu_2 t)] e^{-2\pi i \nu t} dt = \int_{-\infty}^{+\infty} \sin(2\pi\nu_1 t) e^{-2\pi i \nu t} dt + \int_{-\infty}^{+\infty} \sin(2\pi\nu_2 t) e^{-2\pi i \nu t} dt = \\
 &= \frac{1}{2i} \int_{-\infty}^{+\infty} (e^{2\pi i \nu_1 t} - e^{-2\pi i \nu_1 t}) e^{-2\pi i \nu t} dt + \frac{1}{2i} \int_{-\infty}^{+\infty} (e^{2\pi i \nu_2 t} - e^{-2\pi i \nu_2 t}) e^{-2\pi i \nu t} dt = \\
 &= \frac{1}{2i} \left( \int_{-\infty}^{+\infty} e^{2\pi i (\nu_2 - \nu) t} dt + \int_{-\infty}^{+\infty} e^{2\pi i (\nu_1 - \nu) t} dt - \int_{-\infty}^{+\infty} e^{-2\pi i (\nu_2 + \nu) t} dt - \int_{-\infty}^{+\infty} e^{-2\pi i (\nu_1 + \nu) t} dt \right) = \\
 &= \frac{1}{2i} (\delta(\nu - \nu_2) + \delta(\nu - \nu_1) - \delta(\nu + \nu_2) - \delta(\nu + \nu_1))
 \end{aligned}$$

Отсюда можно заключить о том, что ненулевые значения частотный спектр исследуемого сигнала принимает лишь в точках  $\nu = \pm\nu_1$  и  $\nu = \pm\nu_2$ . Следовательно, носитель  $S(\nu)$  это отрезок  $[-\max\{|\nu_1|, |\nu_2|\}, \max\{|\nu_1|, |\nu_2|\}]$ . Окончательно получаем:

$$F_{max} = \max\{|\nu_1|, |\nu_2|\} = \max\{20, 67\} = 67$$

Следовательно допустимые значения частот  $\{f_\delta \mid f_\delta > 2 * 67 = 134\}$ .

### 3. Построить по отсчетам графики дискретного сигнала и его спектра при нескольких различных частотах дискретизации (больше и меньше граничной частоты дискретизации).

Для дискретизации сигнала была использована следующая функция:

```
function [dot, disc_signal] = SignalSamp(sampling_frequency, t_min, t_max, nu)
%Функция, производящая дискретизацию сигнала, при этом дискретизированный
%сигнал должен быть реализован в виде m-функции GenerateSignal

    t_step      = 1/sampling_frequency;
    dot         = [t_min:t_step:t_max];
    disc_signal = GenerateSignal(t_min, t_max, t_step, nu);

    hold on; grid on;
    plot(dot, disc_signal, '.m');
    title('Time domain, sampling frequency ', sampling_frequency);
    legend('original signal', 'sampled signal', 'sampled dot')
end
```

Для нахождения спектра дискретного сигнала будем использовать самостоятельно реализованную в MATLAB функцию дискретного Фурье-преобразования (реализация работает для сигналов, у которых отсчеты расположены на положительной полуоси):

```
function frequency_domain = FourierTransformSamp(time_domain, sampling_frequency, F_max)
%Производит преобразование Фурье для дискретного сигнала, заданного набором
%отсчетов во временной области.

    t_step      = 1/sampling_frequency;
    nu          = [-F_max-10: 2*F_max/1000 :F_max+10];
    frequency_domain = zeros(1,length(nu));

    for k = 1:length(time_domain)
        frequency_domain = frequency_domain + time_domain(k)*exp(-2*pi.*nu*(k-1)*t_step*j)*t_step;
    end

    %АЧХ
    hold on; grid on;
    plot(nu,abs(frequency_domain))
    xlabel('\nu'); ylabel('|S(\nu)|');
    title('Frequency domain')
end
```

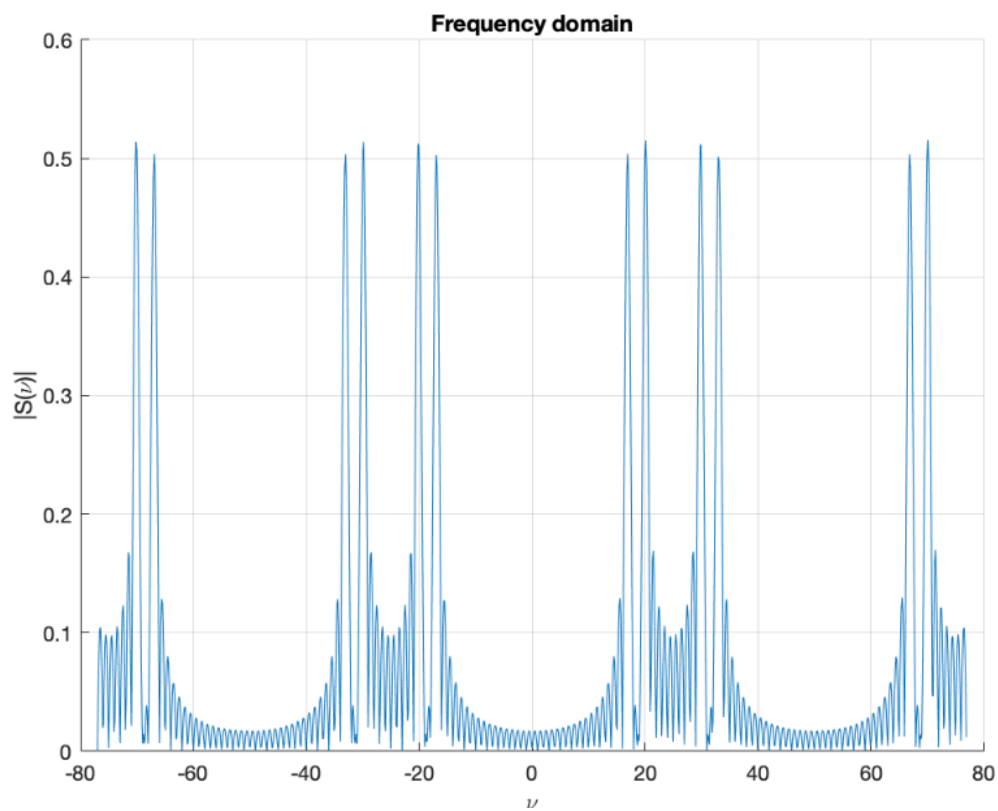
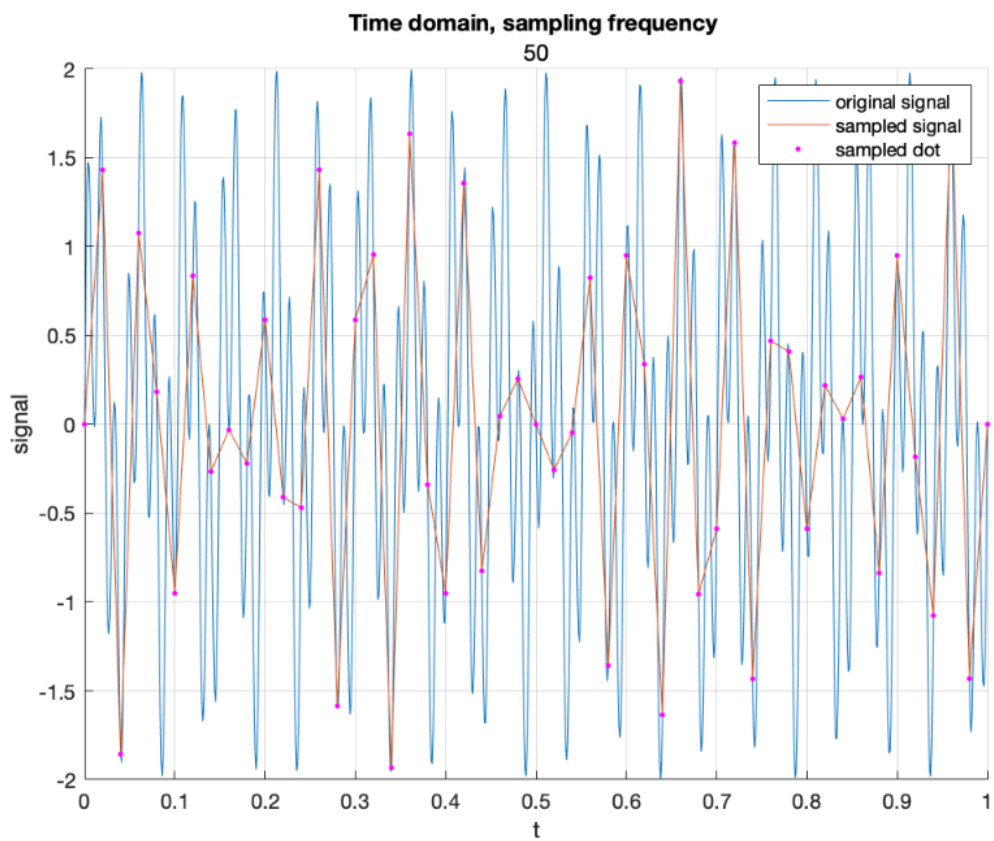
В main-файле приводим реализацию использования данной функции при частотах дискретизации: 50, 135 и 200.

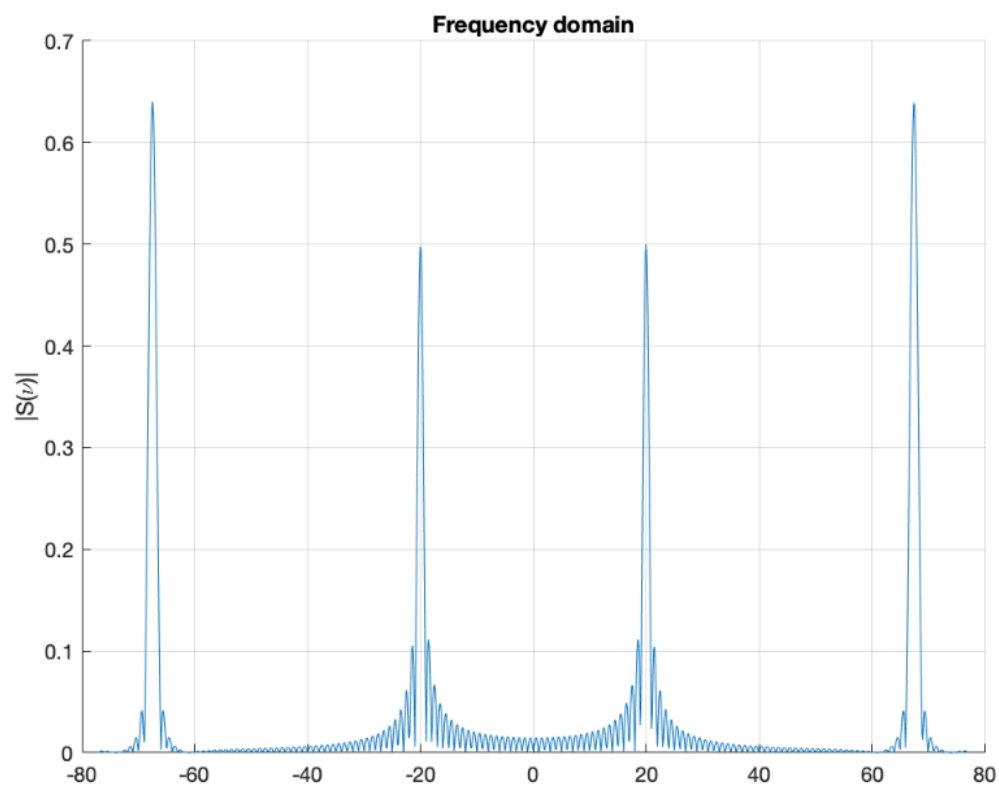
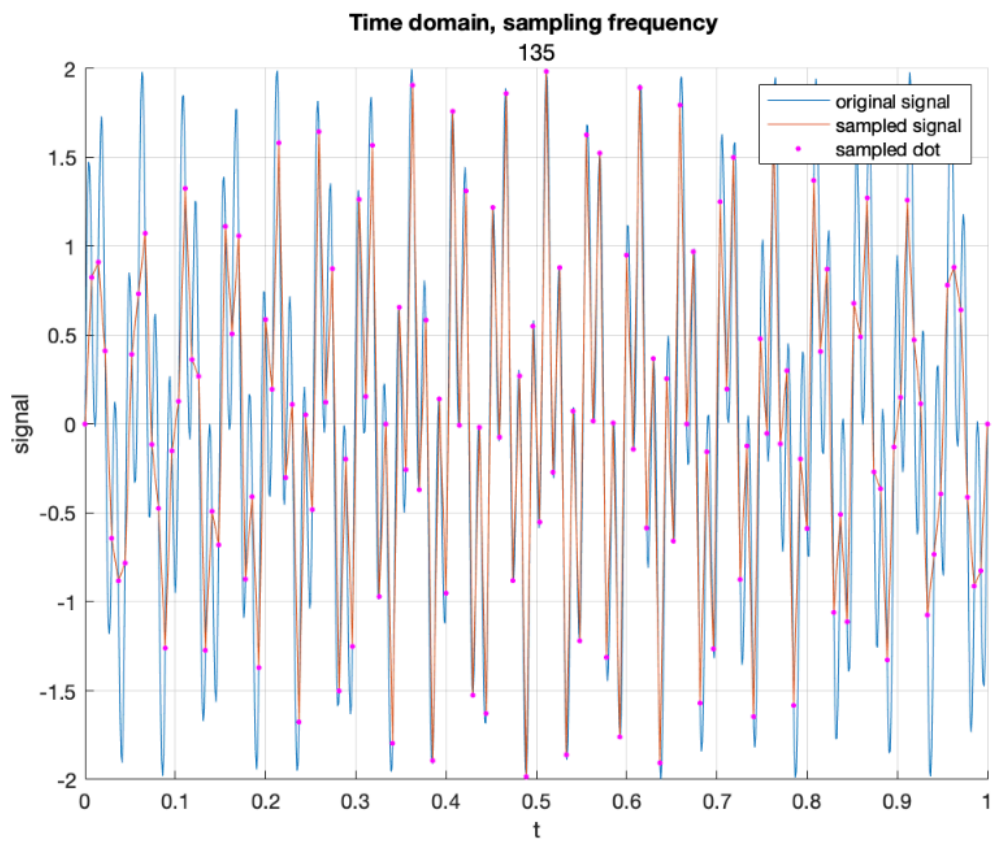
```
%TASK-1-PART-3-----
figure(2);
GenerateSignal(t_min,t_max,t_step,nu);
[dot_50, samp_signal_50] = SignalSamp(50,t_min,t_max,nu);
figure(3)
FourierTransformSamp(samp_signal_50, 50, max(nu(2),nu(1)));

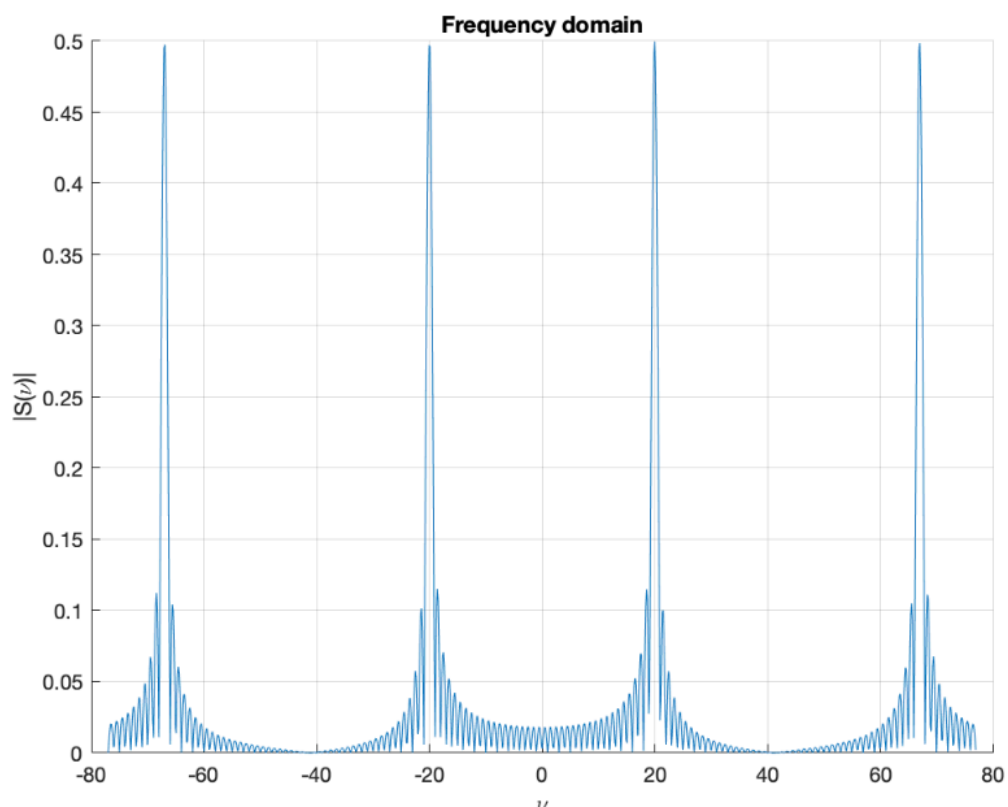
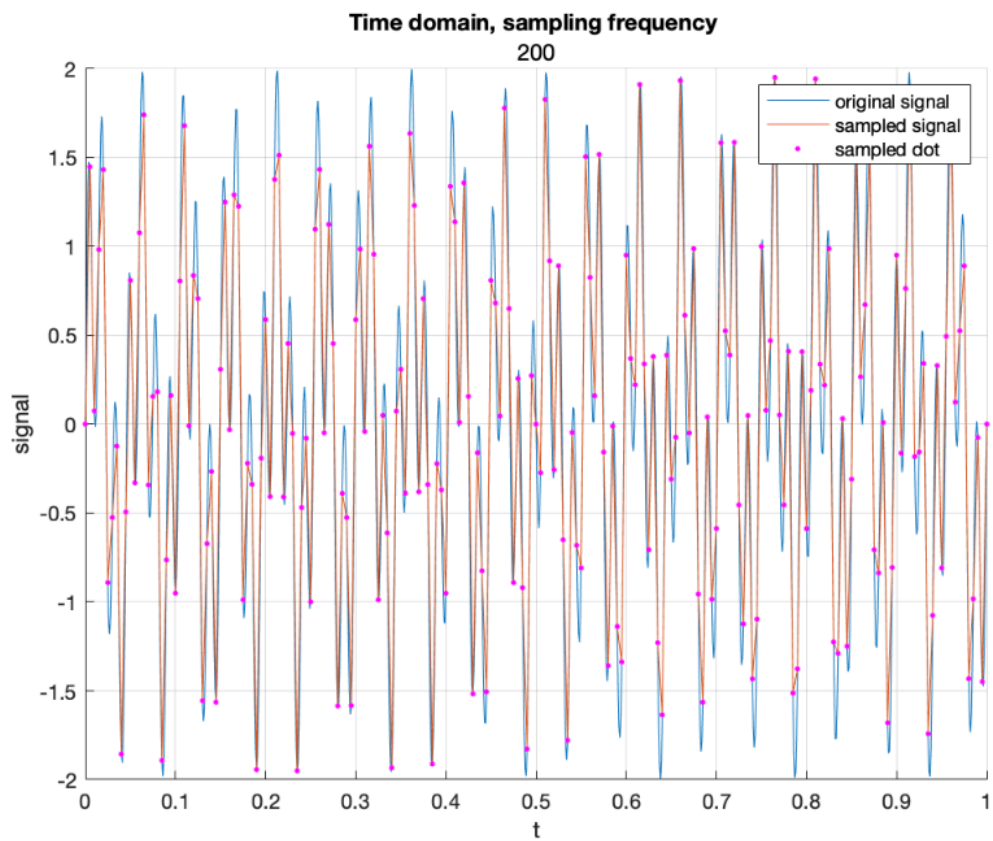
figure(4);
```

```
GenerateSignal(t_min,t_max,t_step,nu);  
[dot_135, samp_signal_135] = SignalSamp(135,t_min,t_max,nu);  
figure(5)  
FourierTransformSamp(samp_signal_135, 135, max(nu(2),nu(1)));  
  
figure(6);  
GenerateSignal(t_min,t_max,t_step,nu);  
[dot_200, samp_signal_200] = SignalSamp(200,t_min,t_max,nu);  
figure(7)  
FourierTransformSamp(samp_signal_200, 200, max(nu(2),nu(1)));
```

Получаем результат:







## Вывод

При дискретизации сигнала важно было выбрать частоту дискретизации в соответствии с частотным критерием, после чего было выполнено построение при 3х различных частотах дискретизации - 50, 135, 200. При этой частоте дискретизации 50 не удовлетворяла частотному критерию, 135 удовлетворяла, но находилась почти на границе, а 200 удовлетворяла с излишком.

В этих условиях наблюдаем в частотной области (а именно на графике амплитуды частотного спектра) 12 пиков, соответствующих частоте дискретизации 50 и 4 пика, соответствующих частотам 135 и 200.

- На первых 2х изображениях (для частоты 50) может наблюдаться эффект наложения частот и подобный частотный спектр могут иметь несколько различных сигналов, дискретизации которых совпадают. От этого мы видим несколько значений частот, которые мог бы иметь сигнал с такими свойствами. Что конечно не отражает реальной картины.
- На последних 4х изображениях (для частот 135 и 200) имеем пики в значениях  $\pm 20$ ,  $\pm 67$ , что в точности соответствует частотам синусов  $\nu_1$ ,  $\nu_2$ , входящих в исследуемый сигнал. Таким образом, удовлетворив частотному критерию выбора шага дискретизации мы получаем картину в точности соответствующую реальности и очень хорошо описывающую исследуемый сигнал.

#### 4. Иллюстрация эффекта наложения частот

Для иллюстрации эффекта наложения частот была реализована и использована функция построения ряда Котельникова по набору отсчетов.

```
function series = KotelnikovSeries(set_of_samples, t_min, t_max, original_step,
sampling_frequency)
%Функция восстанавливает сигнал по набору его отсчетов при помощи теоремы
%Котельникова (предполагает предварительное построение графиков исходного
%сигнала до дискретизации и набора отсчетов внешним образом)
syms t

t_step = 1/sampling_frequency;
kt      = [t_min: t_step: t_max];
KotelnikovSer = matlabFunction(sum(set_of_samples.*(sin(2*pi*sampling_frequency*(t-
kt))))./((2*pi*sampling_frequency*(t-kt))));

t      = [t_min: original_step :t_max];
series = KotelnikovSer(t);

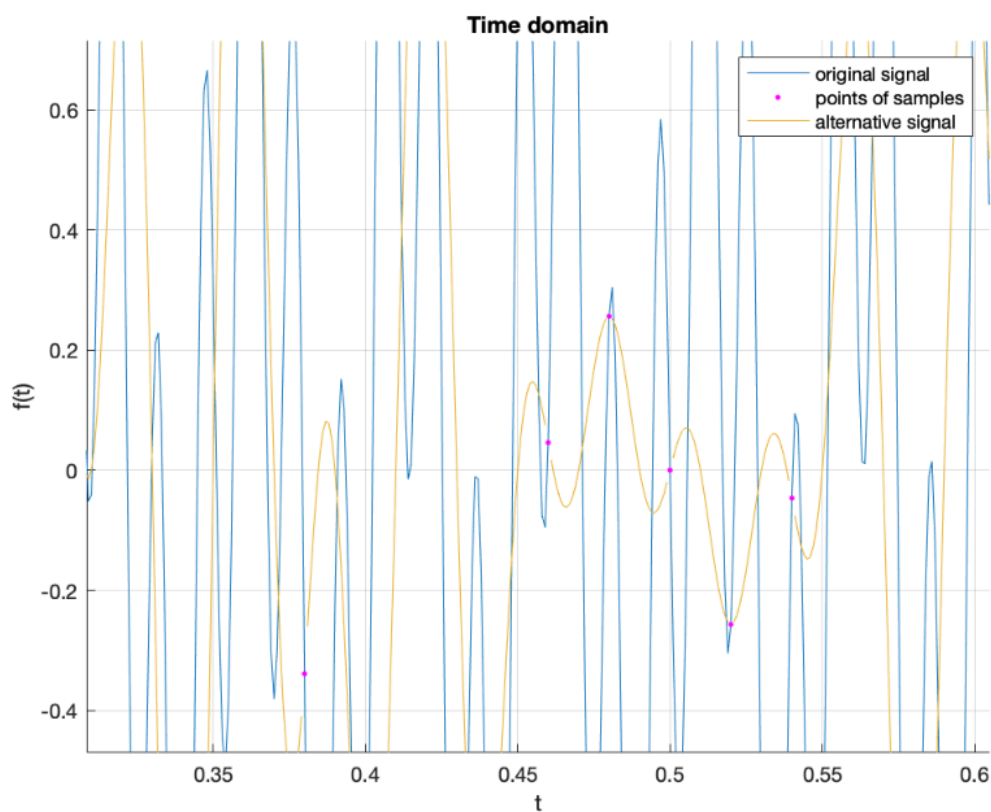
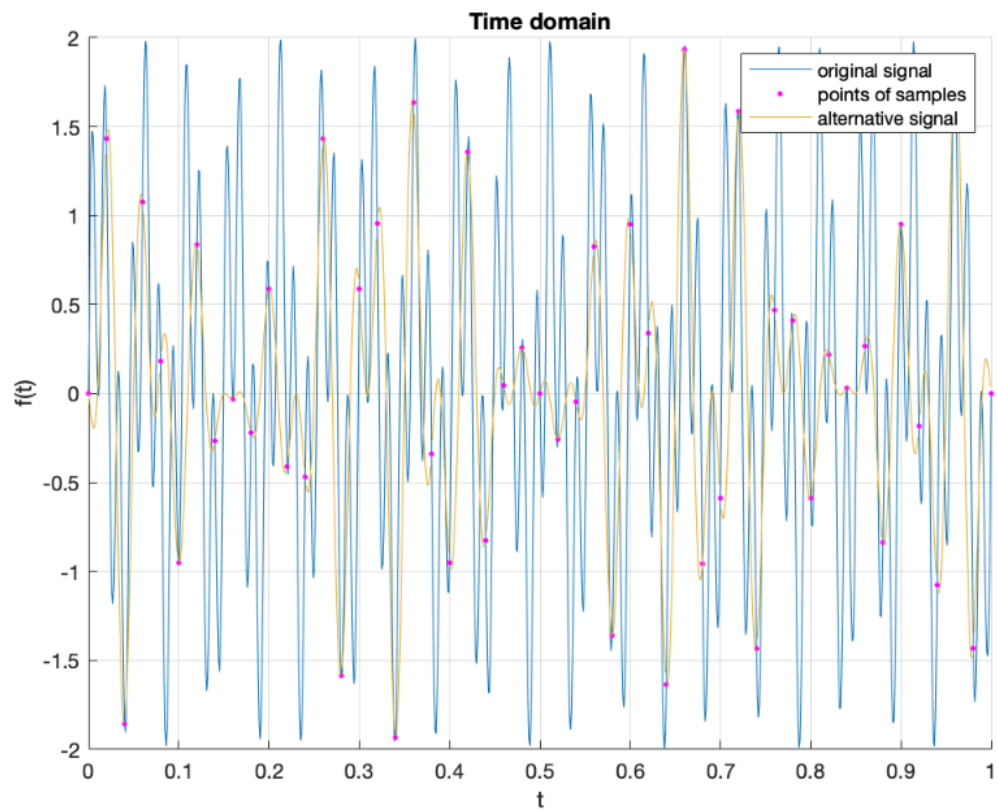
hold on; grid on;
plot(t,series);
title('Time domain')
xlabel('t'); ylabel('f(t)');
legend('original signal', 'points of samples', 'alternative signal')
end
```

В main-файле применения этой функции к тем же условиям для частоты дискретизации 50 (ниже допустимой) выглядит следующим образом.

```
figure(8)
hold on; grid on;
plot([t_min: t_step: t_max], signal);
plot(dot_50, samp_signal_50, '.m')
alternative_signal = KotelnikovSeries(samp_signal_50, t_min, t_max, t_step, 50);
```

Получаем результат (2 рисунка в разном масштабе) - 2 сигнала: исходный и полученный при восстановлении с ряда Котельникова.





Видим, что в этом случае, вообще говоря, сигналы различны, однако их дискретизации совпадают полностью, и, как следствие, их дискретные спектры. Это и является иллюстрацией эффекта наложения частот, который произошел из-за недопустимо низкой частоты дискретизации сигнала.

## 5. Обработка изображений.

Реализация алгоритма простого выкалывания из матрицы изображения :

```
function output_image = BruteForceGougging(input_image, k)
%Грубое уменьшение частоты дискретизации изображения в n раз и вывод
%полученного изображения.

    output_image = zeros(floor(size(input_image,1)/k), floor(size(input_image,2)/k), 3,
'uint8');
    for i=1:size(output_image,1)
        for j=1:size(output_image,2)
            output_image(i, j, :) = input_image(floor(i*k), floor(j*k), :);
        end
    end
    imshow(output_image)
end
```

Применим:







```
image = imread('var1.png');

figure(10)
BruteForceGougging(image, 2);
im2 = imresize(image, 1./2);
figure(11)
imshow(im2)

figure(12)
BruteForceGougging(image, 3);
im3 = imresize(image, 1./3);
figure(13)
imshow(im3)

figure(14)
BruteForceGougging(image, 4);
im4 = imresize(image, 1./4);
figure(15)
imshow(im4)
```

Имеем результат обработки:

Слева - грубое выкалывание, справа - рещультат функции imresize().

Ясно видно, что поскольку при использовании функции imresize происходит дополнительная интерполяция в клетки матрицы, то изображения выглядят куда лучше грубого выбрасывания.

## Часть 2. Исследование эффектов квантования.

### Цель работы

Исследование влияния параметров квантования на качество сигналов, изучение статистических аспектов квантования.

### Ход работы:

1. Синтезируем случайный дискретный сигнал  $x(k)$ , состоящий из нескольких сотен отсчетов с одинаковым равномерным распределением. Построим по отсчетам его график.

Для генерации сигнала была использована функция:

```
function signal = GenerateRandomSignal(count_set, x_min, x_max)
%Генерация случайного равномерно распределенного на отрезке [x_min, x_max]
%сигнала, заданного на отрезке count_set + построение графика.

    signal = unifrnd(x_min,x_max,1,length(count_set));

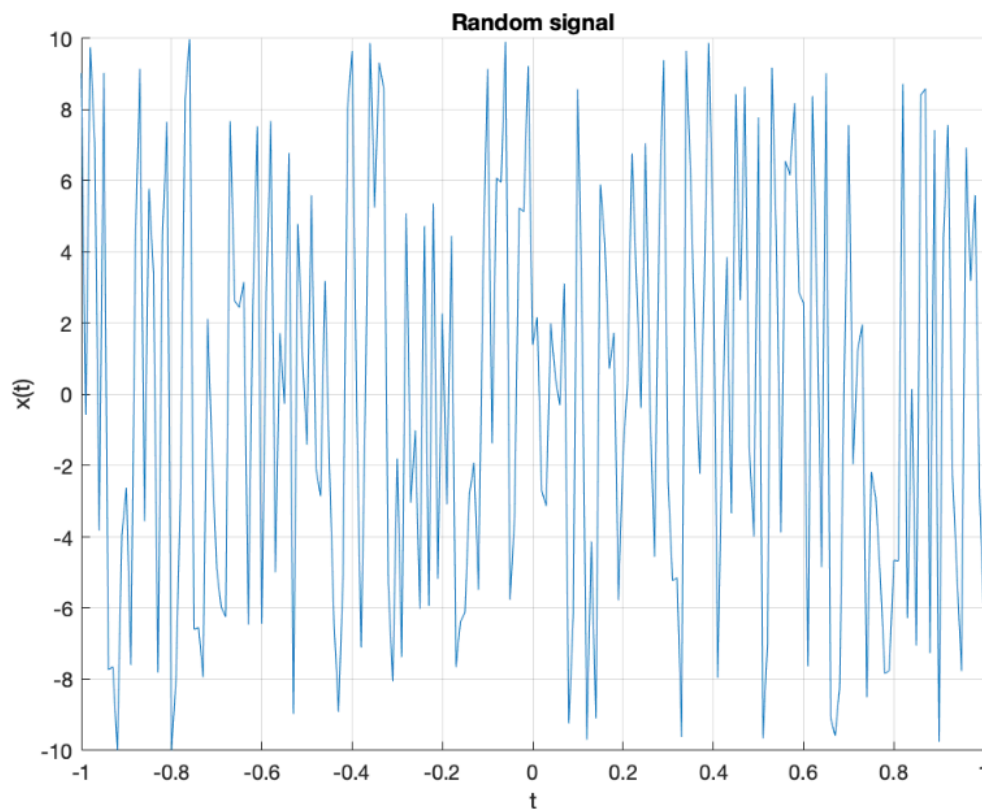
    hold on;grid on;
    plot(count_set,signal);
    title('Random signal');
    xlabel('t'); ylabel('x(t)');
end
```

Реализация использования данной функции выглядит следующим образом:

```
%TASK-2-PART-1-----
count_set = [-1:0.01:1];
x_min     = -10;
x_max     = 10;

figure(1)
original_signal = GenerateRandomSignal(count_set, x_min, x_max);
```

Получаем результат:



## 2. Проведем равномерное квантование данного сигнала.

Функция равномерного квантования сигнала на k бит выглядит реализована следующим образом:

```
function output_signal = UniformQuantization(original_signal, count_set, bits, x_min, x_max)
%Функция равномерного квантования дискретного сигнала и построение графика
%квантованного сигнала

N                = 2^bits;
q_step           = (x_max-x_min)/N;
output_signal    = zeros(1,length(count_set));

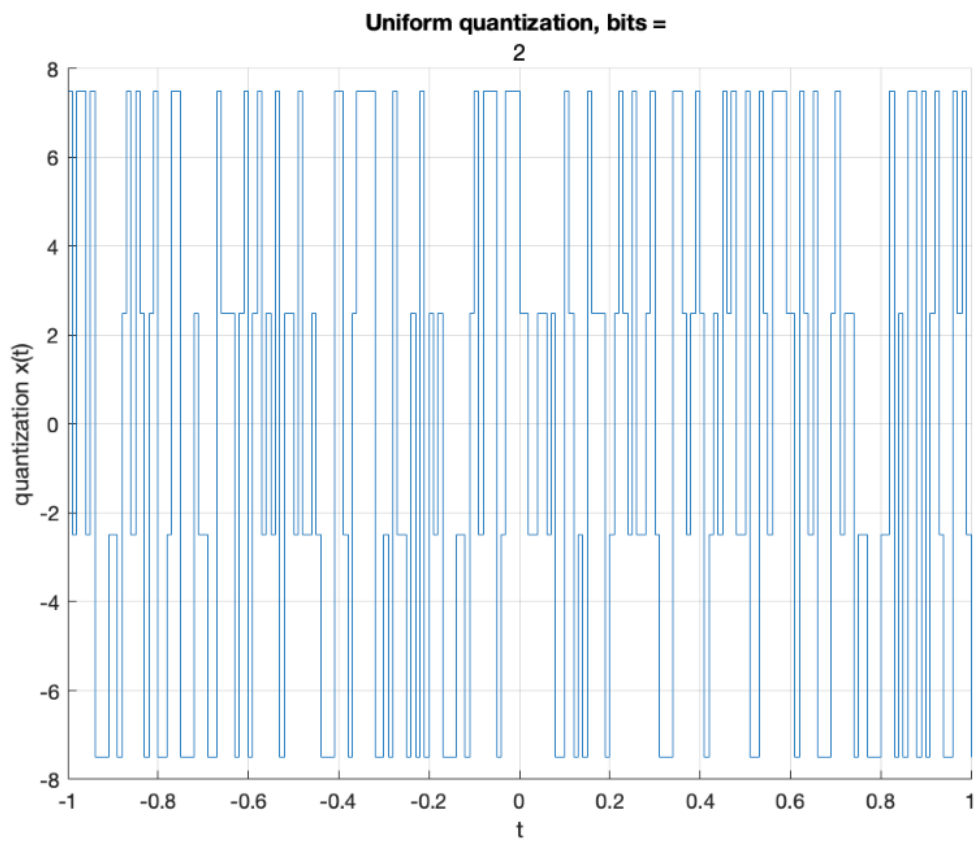
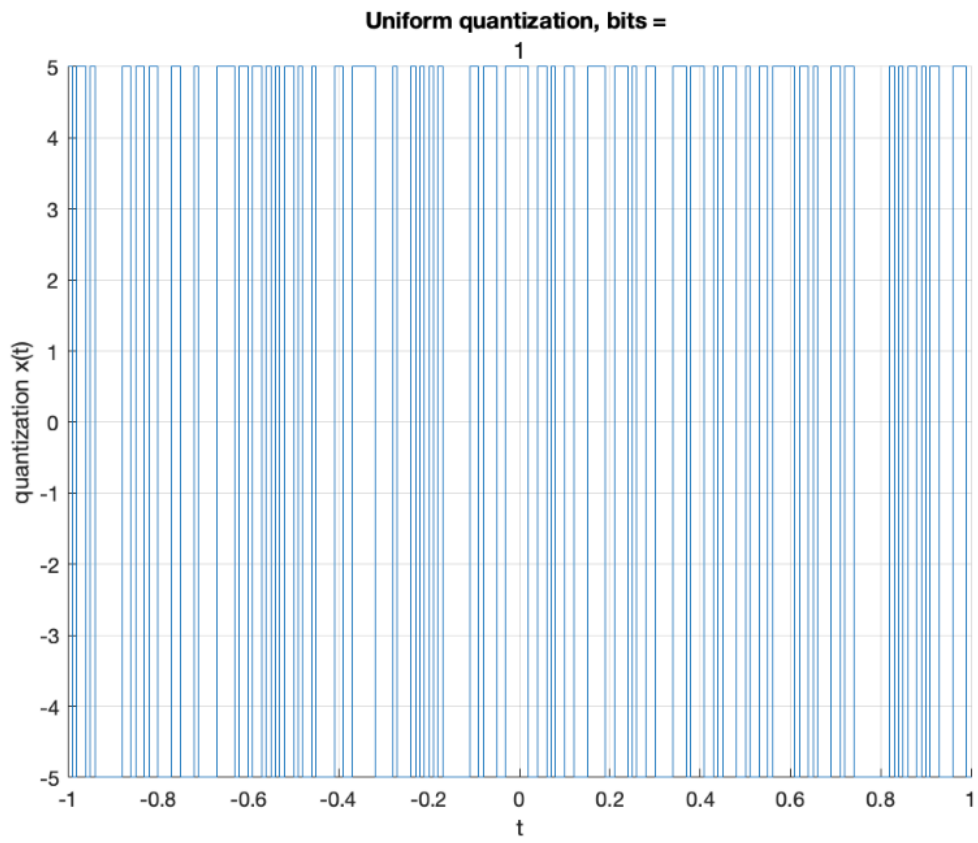
for i=1:length(original_signal)
    l = floor(original_signal(i)./q_step);
    if ((mod(original_signal(i), q_step) == 0) && (l > 0))
        l = l - 1;
    end
    output_signal(i) = q_step.*(2.*l + 1)./2;
end

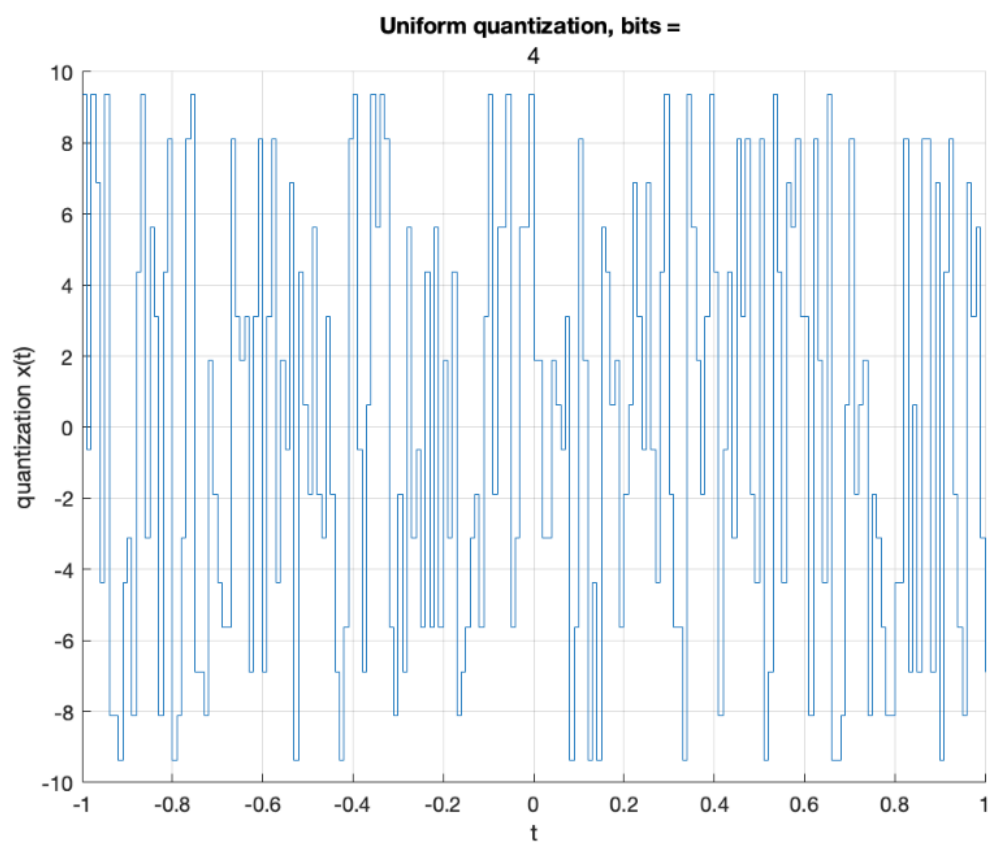
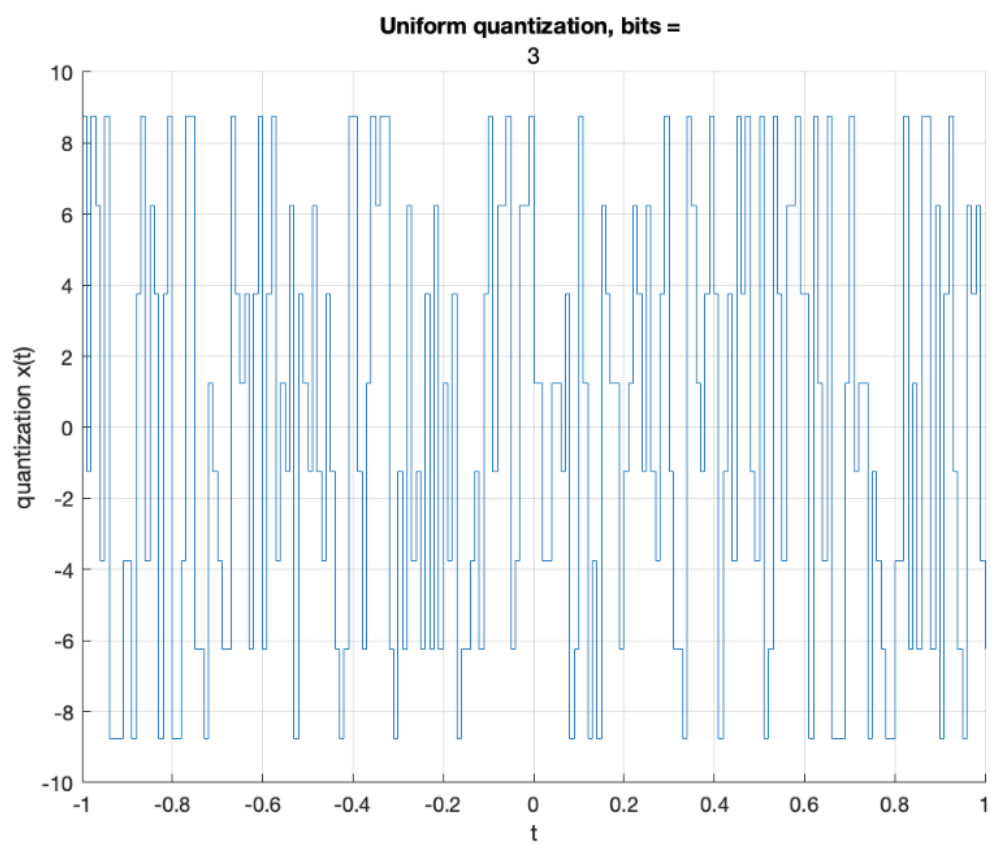
hold on; grid on;
stairs(count_set, output_signal);
title('Uniform quantization, bits = ', bits);
xlabel('t'); ylabel('quantization x(t)');
end
```

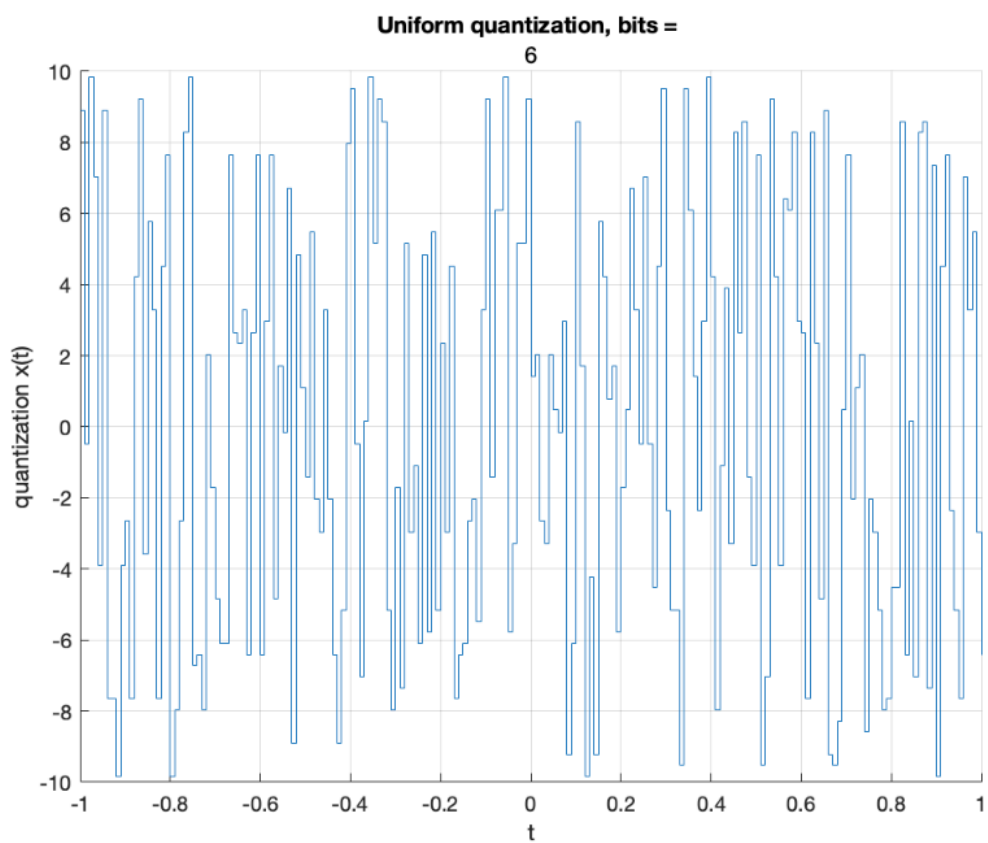
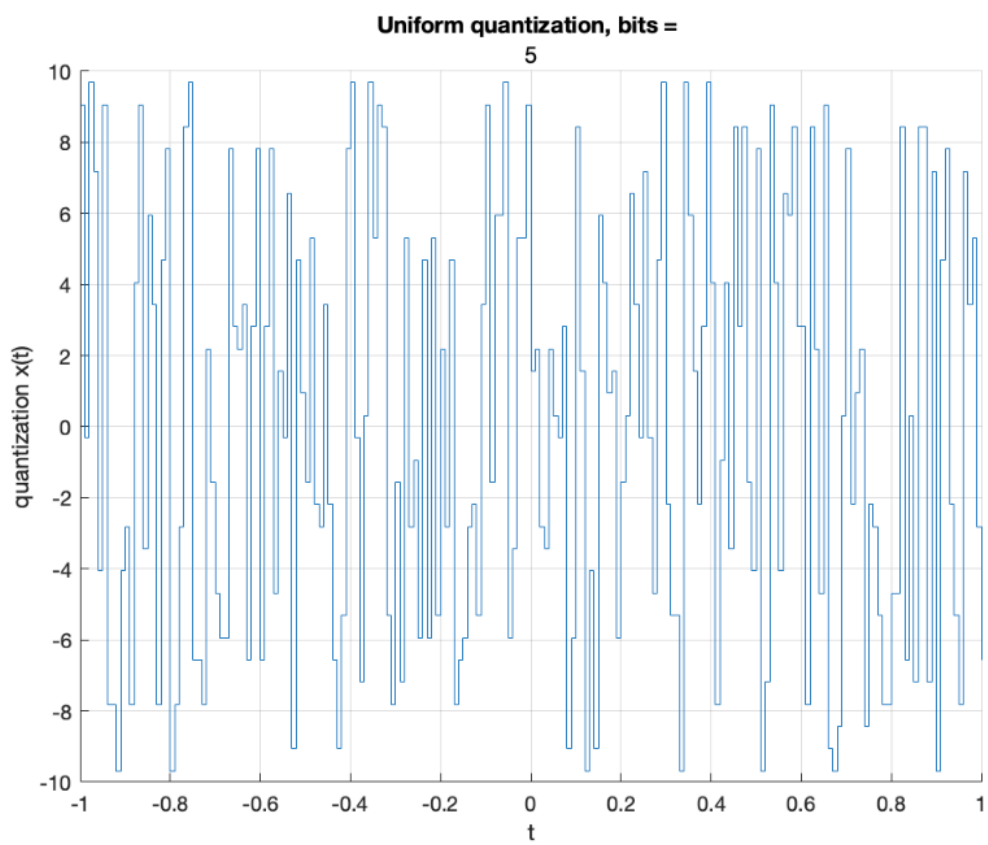
Ее применение:

```
quantorization_signal = zeros(length(original_signal), 8);  
for k = 1:1:8  
    figure(k+1)  
    quantorization_signal(:,k) = UniformQuantization(original_signal, count_set, k, x_min,  
x_max);  
end
```

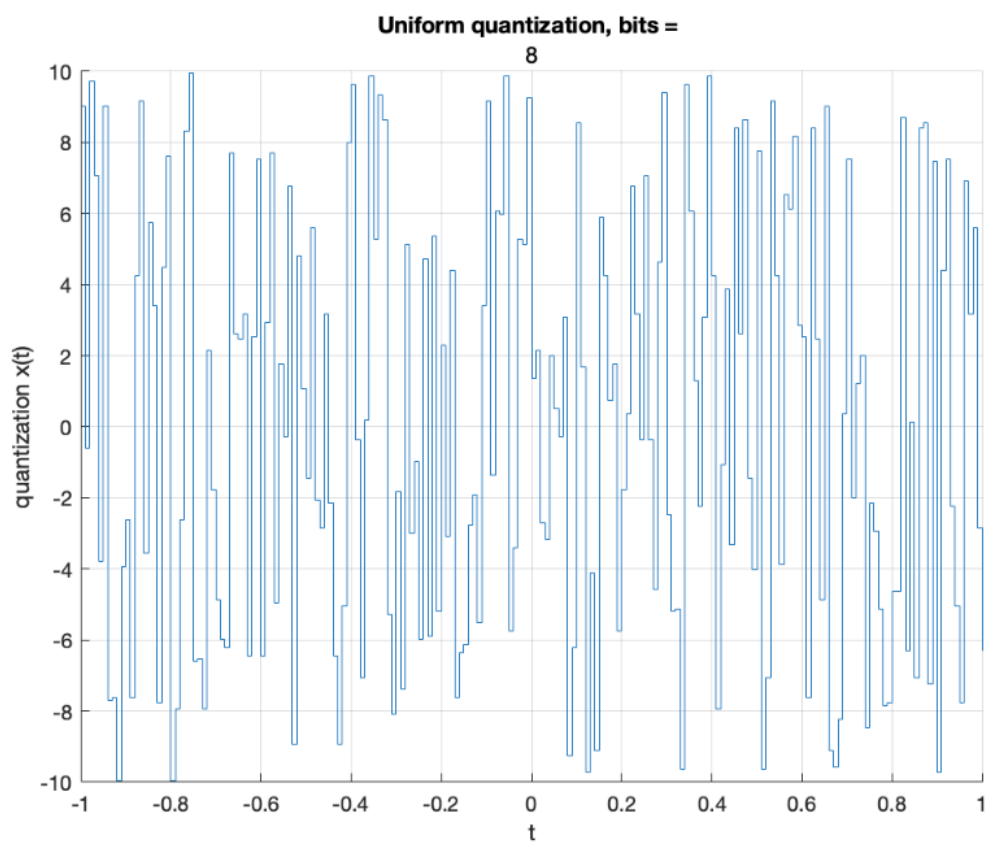
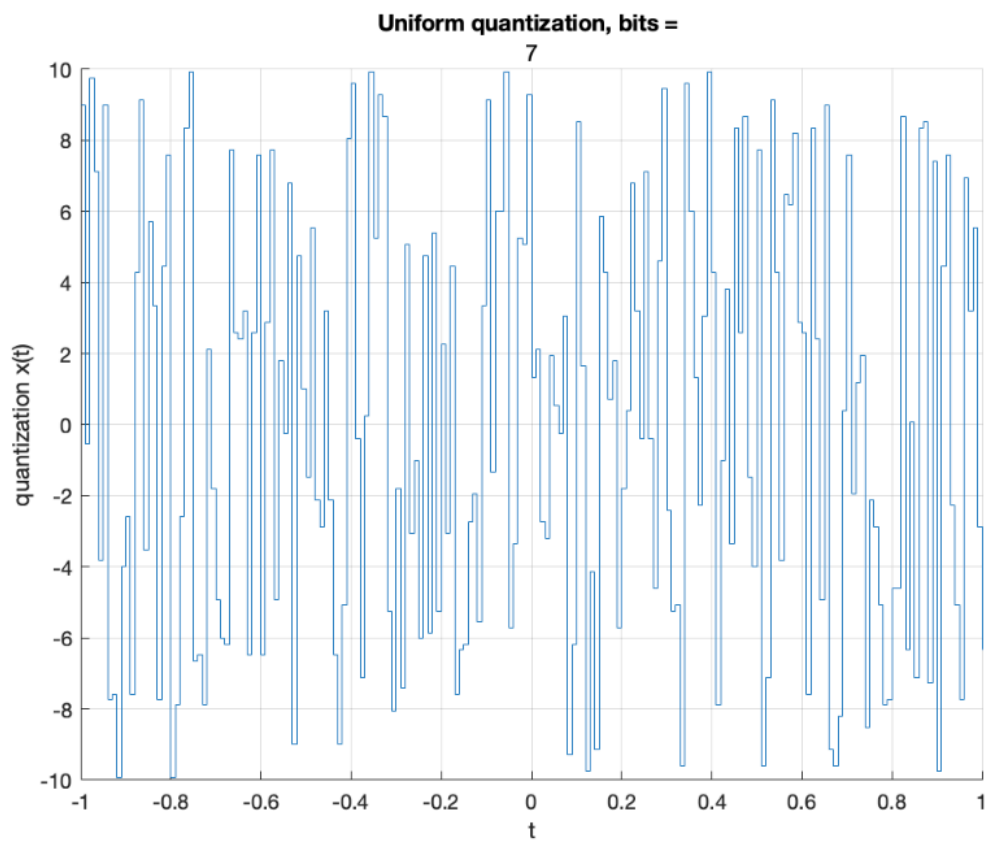
Результат работы:











### 3. Экспериментальная оценка ошибки квантования

Реализуем функцию, анализирующую квантованный и оригинальный сигналы и оценивающую ошибку квантования:

```
function [error_empiric, error_theoretic] = QuantizationError(original_signal,
quantorization_signal, x_min, x_max)
%Анализ ошибки квантования: вычисление эмпирической и теоретической ошибок
%равномерного квантования, построение графиков

error_empiric = zeros(1,length(quantorization_signal(:,1)));
error_theoretic = zeros(1,length(quantorization_signal(:,1)));

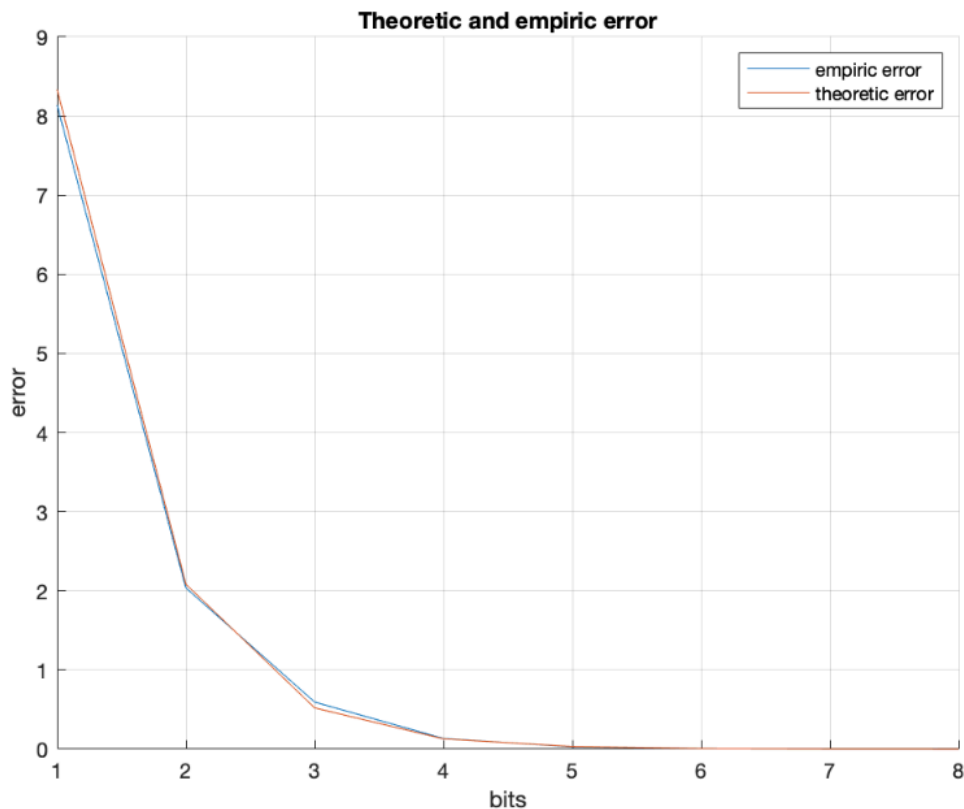
for k = 1:1:length(quantorization_signal(:,1))
    error_empiric(k) = sum((original_signal-
quantorization_signal(k,:)).^2)./length(original_signal);
    error_theoretic(k) = ((x_max-x_min)/2^k)^2/12;
end

hold on; grid on;
plot([1:length(error_empiric)], error_empiric);
plot([1:length(error_theoretic)], error_theoretic);
xlabel('bits'); ylabel('error');
title('Theoretic and empiric error');
legend('empiric error', 'theoretic error');
end
```

Применение этой функции к нашей задаче:

```
figure(10)
[error_empiric, error_theoretic] = QuantizationError(original_signal, quantorization_signal,
x_min, x_max)
```

Получаем результат:



```
error_empiric = 1×8
    8.1375    2.0372    0.5944    0.1339    0.0290    0.0080    0.0021    0.0006

error_theoretic = 1×8
    8.3333    2.0833    0.5208    0.1302    0.0326    0.0081    0.0020    0.0005
```

**Вывод** Теоретическая и эмпирическая ошибки почти не отличимы друг от друга, при разном количестве бит, используемых для квантования сигнала доминирующее положение в точности чередуется. Что касается зависимости от количества используемых бит, то ясно видно, что с ростом этого количества величина ошибки уменьшается.

#### 4. Анализ SNR ошибки квантования

Аналогичным образом напомним функцию, но использующую другую меру ошибки квантования:

```
function error_empiric = QuantizationErrorSNR(original_signal, quantization_signal, x_min,
x_max)
%Анализ ошибки квантования: вычисление SNR ошибки
%равномерного квантования, построение графика

error_empiric = zeros(1,length(quantization_signal(:,1)));

for k = 1:length(quantization_signal(:,1))
    A_signal = sqrt(sum(original_signal.^2))/length(original_signal);
    A_noise = sqrt(sum((original_signal-
quantization_signal(k,:)).^2))/length(original_signal);
    error_empiric(k) = 20*log10(A_signal/A_noise);
    error_theoretic(k) = ((x_max-x_min)/2^k)^2/12;
```

```

end

hold on; grid on;
plot([1:length(error_empiric)], error_empiric);
xlabel('bits'); ylabel('error');
title('SNR error');
end

```

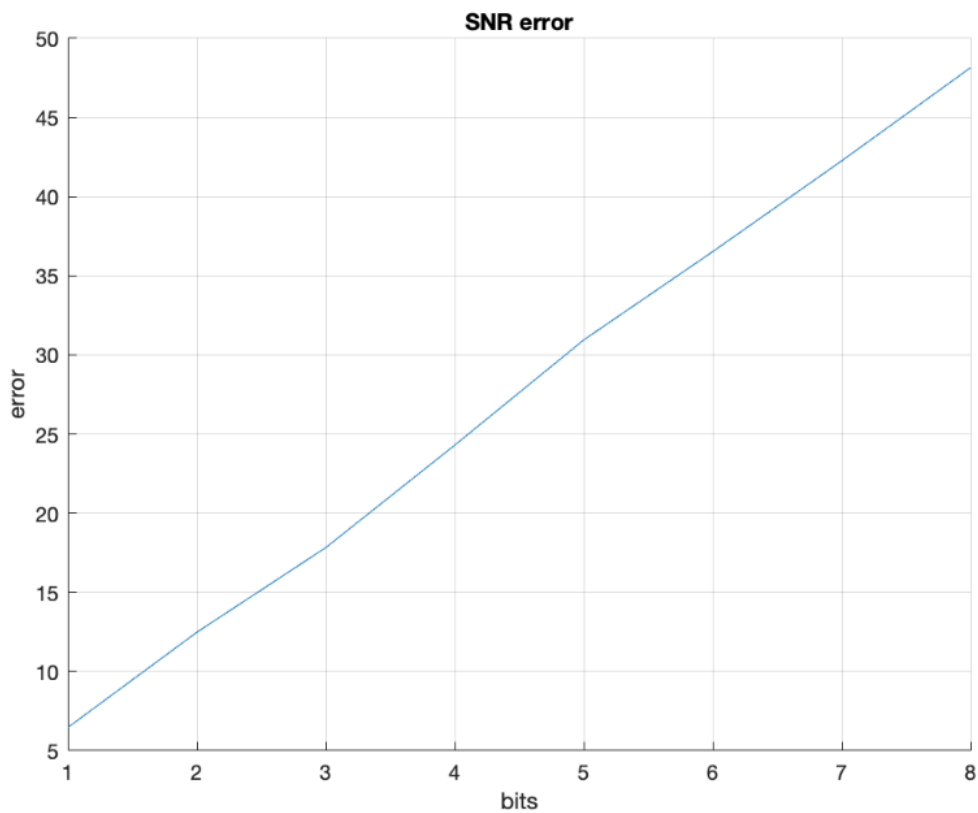
Применения к нашему моделированию:

```

figure(11)
error_SNR = QuantizationErrorSNR(original_signal, quantorization_signal, x_min, x_max)

```

Итог:



```

error_SNR = 1×8
    6.4673    12.4818    17.8315    24.3029    30.9486    36.5258    42.2634    48.1535

```

**Вывод:** Наблюдаем похожую ситуацию, с увеличением количества бит квантования ошибки уменьшается. Однако, куда интереснее то, что график имеет линейный вид, это позволяет судить о скорости убывания ошибки квантования, а именно - она убывает как  $O(bits^{10})$ .

## 5. Нормальный дискретный случайный сигнал

Функция генерации выглядит следующим образом:

```
function output_signal = GenerateRandomNormalSignal(m, sigma, count_set)
%Генерация случайного дискретного равномерно распределенного случайного
%сигнала.

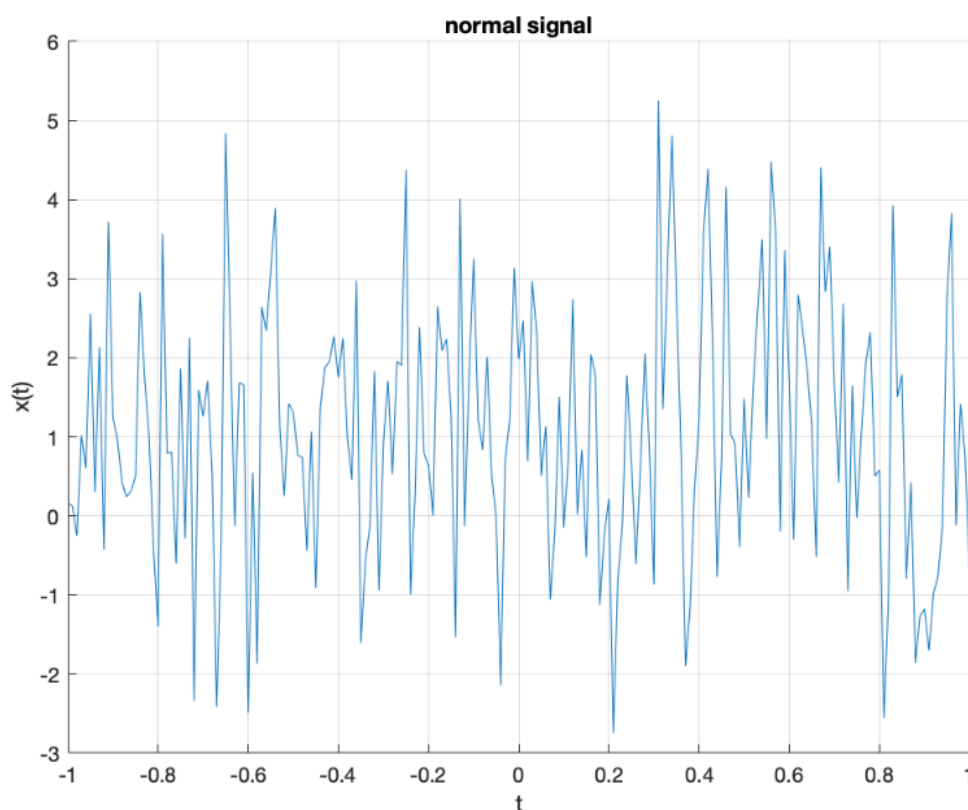
output_signal = m + sqrt(sigma).*randn(1, length(count_set));

hold on; grid on;
plot(count_set, output_signal);
xlabel('t'); ylabel('x(t)');
title('normal signal');
end
```

Собственно генерация:

```
m = 1; sigma = 2;
figure(12)
normal_signal = GenerateRandomNormalSignal(m, sigma, count_set);
```

Результат:



## 6. Параметры оптимального квантователя Ллойда-Макса

Опишем функцию, способную вычислять параметры квантователя Ллойда-Макса для произвольного нормального распределения:

```
function [t_new, d_new] = LloidMaksForNormal(t, d, m, sigma)
%Вычисляет параметры квантователя Ллойда-Макса для нормального
%распределения с произвольными параметрами
t_new = zeros(1, length(t));
```

```

d_new = zeros(1,length(d));

for k = 1:length(t)
    t_new(k) = t(k)*sigma + m;
end

for k = 1:length(d)
    d_new(k) = d(k)*sigma + m;
end
end

```

Применим в нашем моделировании:

```

% При использовании 1 бита на отсчет (2 уровня):
t1 = [-inf 0 inf];
d1 = [-0.7979 0.7979];
% При использовании 2 бит на отсчет(4 уровня):
t2 = [-inf -0.9816 0 0.9816 inf];
d2 = [-1.5104 -0.4528 0.4528 1.5104];
% При использовании 3 бит на отсчет (8 уровней):
t3 = [-inf -1.7479 -1.05 -0.5005 0 0.5005 1.05 1.7479 inf];
d3 = [-2.1519 -1.3439 -0.756 -0.2451 0.2451 0.756 1.3439 2.1519];
% При использовании 4 бит на отсчет (16 уровней):
t4 = [-inf -2.4008 -1.8435 -1.4371 -1.0993 -0.7995 -0.5224 -0.2582 0 0.2582 0.5224 0.7995 1.0993
1.4371 1.8435 2.4008 inf];
d4 = [-2.7326 -2.069 -1.618 -1.2562 -0.9423 -0.6568 -0.3880 -0.1284 0.1284 0.3880 0.6568 0.9423
1.2562 1.618 2.069 2.7326];

[t1_new,d1_new] = LloidMaksForNormal(t1,d1,m,sigma)
[t2_new,d2_new] = LloidMaksForNormal(t2,d2,m,sigma)
[t3_new,d3_new] = LloidMaksForNormal(t3,d3,m,sigma)
[t4_new,d4_new] = LloidMaksForNormal(t4,d4,m,sigma)

```

Получим результат:

```

t1_new = 1×3
    -Inf      1      Inf

d1_new = 1×2
    -0.5958      2.5958

t2_new = 1×5
    -Inf    -0.9632      1.0000      2.9632      Inf

d2_new = 1×4
    -2.0208      0.0944      1.9056      4.0208

t3_new = 1×9
    -Inf    -2.4958    -1.1000    -0.0010      1.0000      2.0010      3.1000      4.4958      Inf

d3_new = 1×8
    -3.3038    -1.6878    -0.5120      0.5098      1.4902      2.5120      3.6878      5.3038

```

```

t4_new = 1×17
    -Inf    -3.8016    -2.6870    -1.8742    -1.1986    -0.5990    -0.0448     0.4836     1.0000
    1.5164     2.0448     2.5990     3.1986     3.8742     4.6870     5.8016      Inf

d4_new = 1×16
    -4.4652    -3.1380    -2.2360    -1.5124    -0.8846    -0.3136     0.2240     0.7432     1.2568
    1.7760     2.3136     2.8846     3.5124     4.2360     5.1380     6.4652

```

## 7. Оптимальное квантование сигнала $x(k)$ , используя от 1 до 4х битов на отсчет

По-традиции организуем вычисления в виде m-функции:

```

function quant = OptimalLloydMaxQuantizer(original_signal, t, d, count_set)
%Производит оптимальное квантование Ллойда-Макса с заданным числом битов на
%один отсчет, которое определяется в зависимости от передаваемых параметров
%квантователя

    len = length(original_signal);
    quant = zeros(1, len);
    for i=1:len
        v = sum(original_signal(i) > t);
        quant(i) = d(v);
    end

    hold on; grid on;
    stairs(count_set, quant)
    title('Lloyd-Maks, bits = ', log2(length(d)))
    xlabel('t'); ylabel('quantization x(t)')
end

```

Далее применим к смоделированному сигналу:

```

figure(13)
OptimalLloydMaxQuantizer(normal_signal, t1_new, d1_new, count_set);

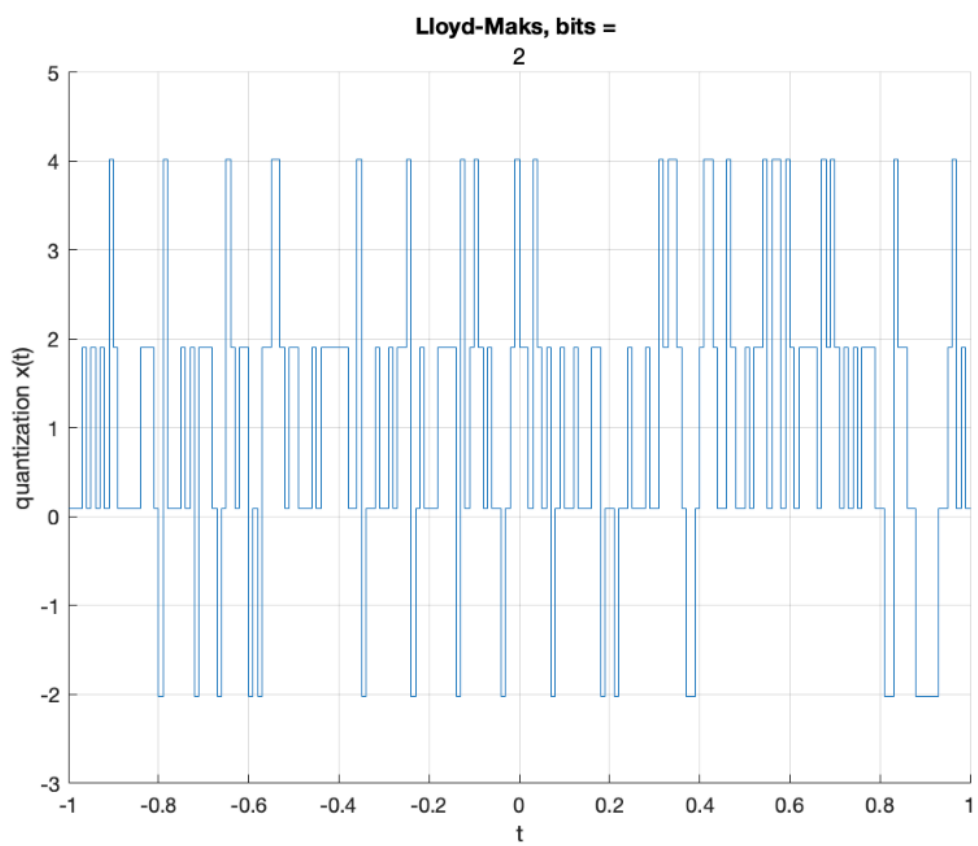
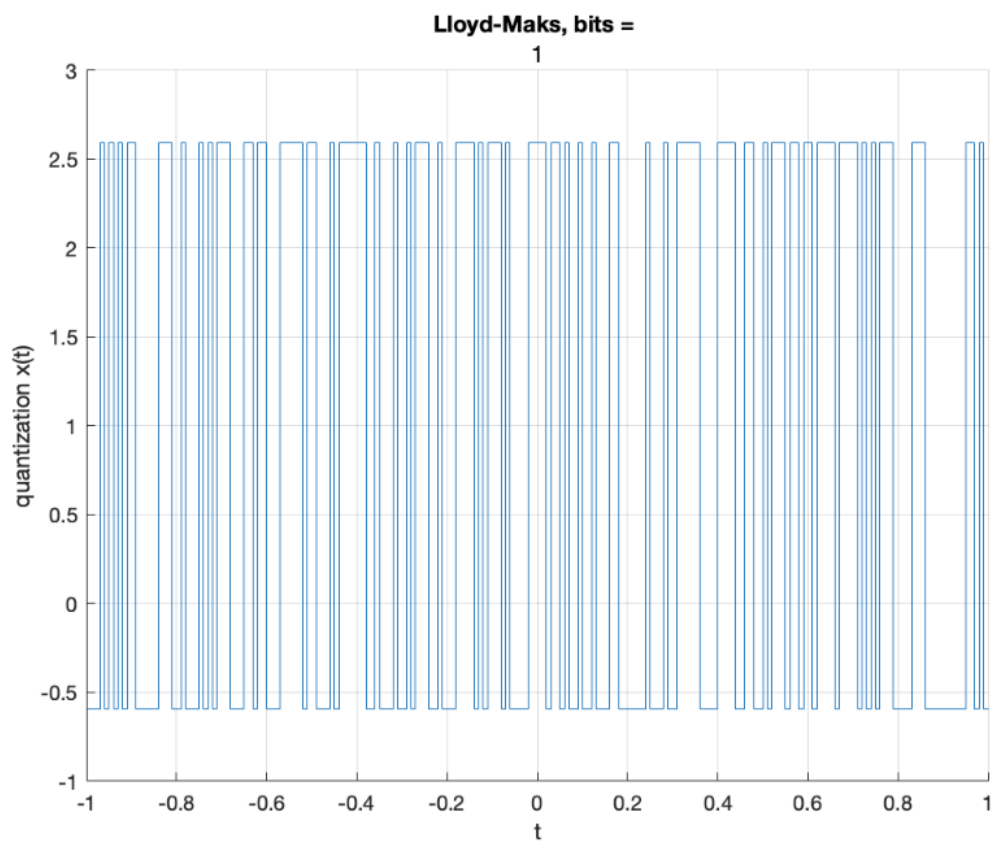
figure(14)
OptimalLloydMaxQuantizer(normal_signal, t2_new, d2_new, count_set);

figure(15)
OptimalLloydMaxQuantizer(normal_signal, t3_new, d3_new, count_set);

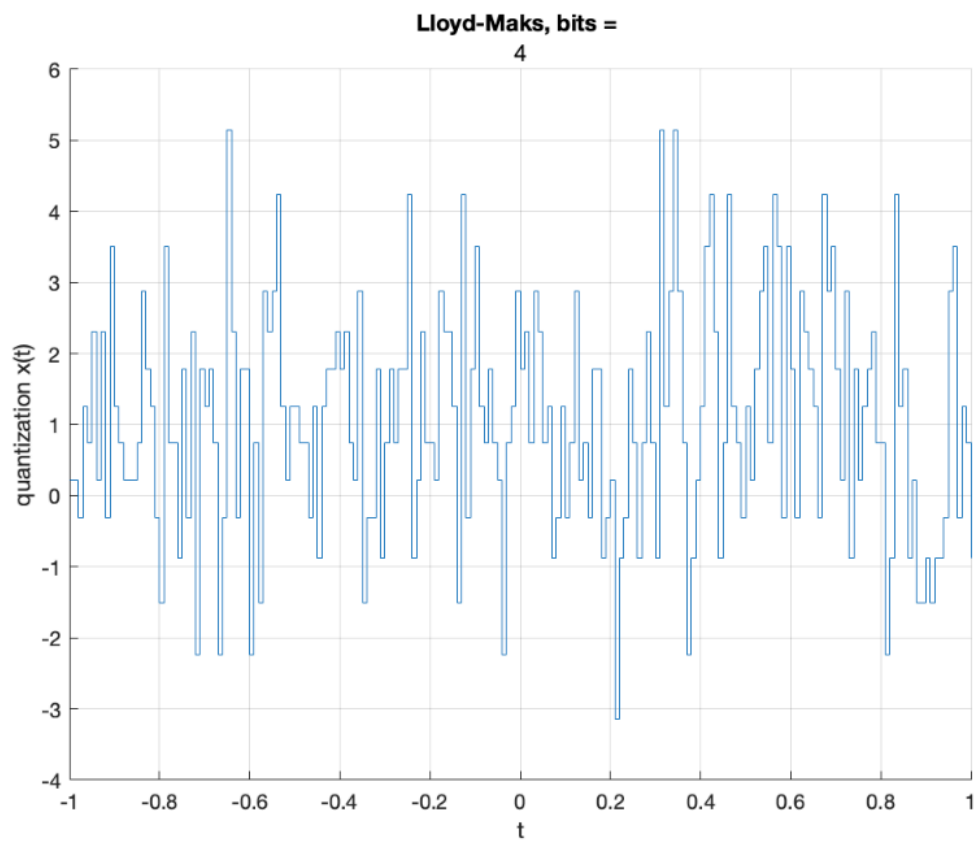
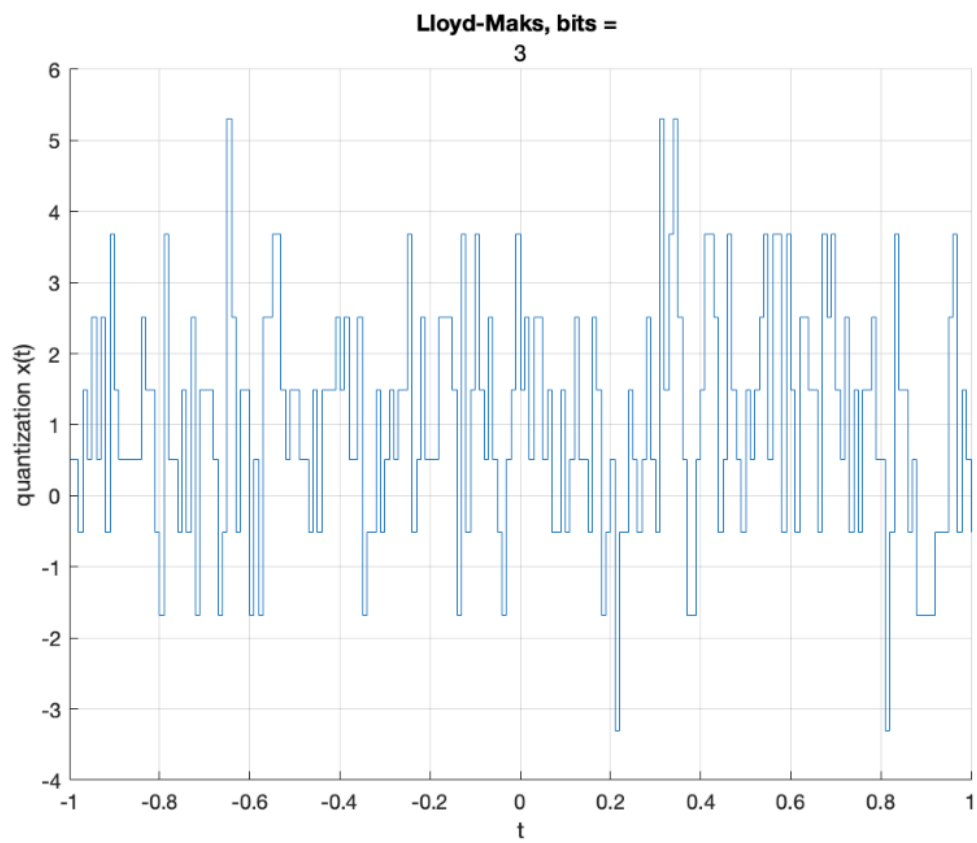
figure(16)
OptimalLloydMaxQuantizer(normal_signal, t4_new, d4_new, count_set);

```

Получим результат:







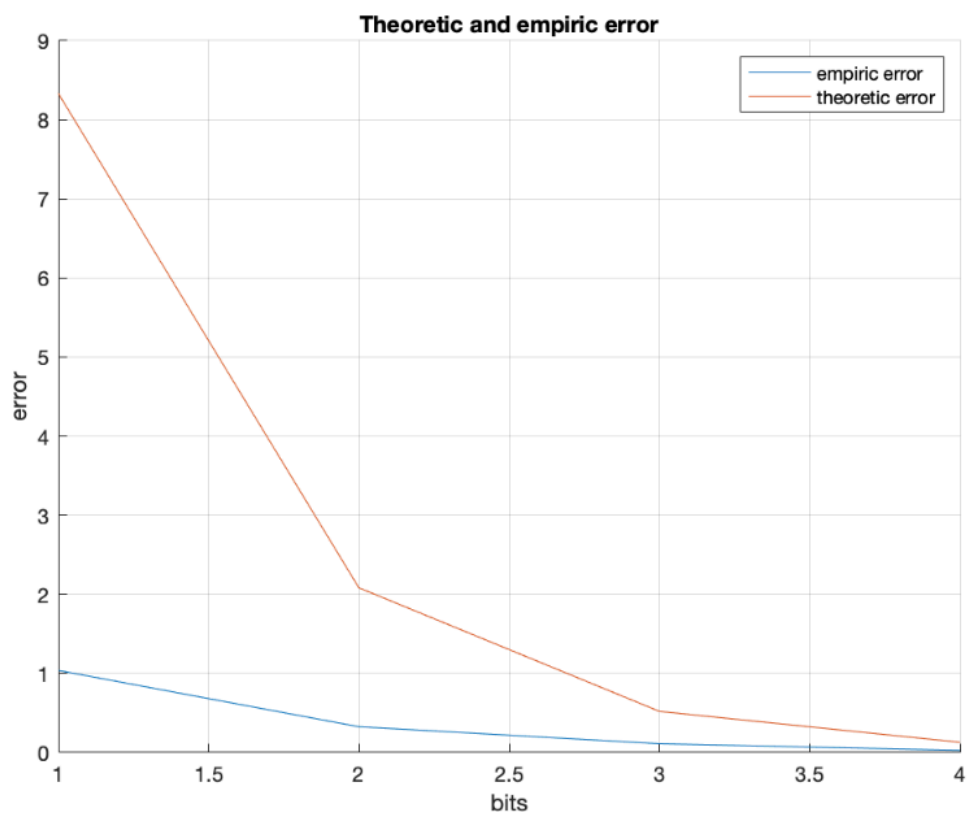
## 8. Определение ошибки оптимального квантования Ллойда-Макса

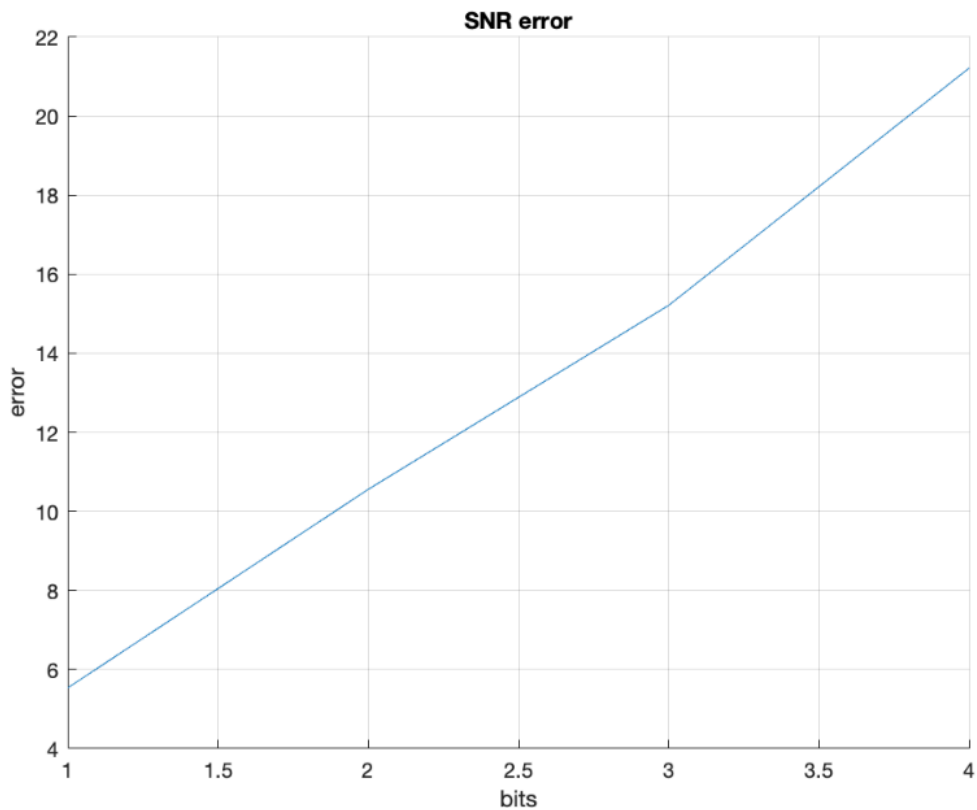
Используем уже реализованные функции анализа эмпирических и теоретических ошибок, а также SNR.

```
figure(17)
[error_empiric_norm, error_theoretic_norm] = QuantizationError(normal_signal,
quantorization_signal_norm, x_min, x_max)

figure(18)
error_SNR_norm = QuantizationErrorSNR(normal_signal, quantorization_signal_norm, x_min, x_max)
```

Имеем:





```

error_empiric_norm = 1×4
    1.0386    0.3267    0.1118    0.0281

error_theoretic_norm = 1×4
    8.3333    2.0833    0.5208    0.1302

error_SNR_norm = 1×4
    5.5353    10.5582    15.2150    21.2175

```

### Вывод:

По первому графику можно заметить, что при маленьком числе битов, использованных при квантовании эмпирическая ошибка получается куда меньше теоретической, можно выдвинуть гипотезу о том, что это не случайность и оптимальное квантование действительно всегда дает меньшую ошибку. (для большей уверенности в этой гипотезе стоит посмотреть на ошибки, полученные равномерным квантованием для этого конкретного сигнала). Второй график может свидетельствовать о наличии более быстрого убывания ошибки.

### 9. Сравнение ошибок равномерного квантования и оптимального квантования Ллойда-Макса

Для этого применим равномерное квантование к "нормально-распределенному" сигналу и посчитаем ошибки.

```

quantorization_signal_un = zeros(4,length(original_signal));
for k = 1:1:4
    figure(18+k)
    quantorization_signal_un(k,:) = UniformQuantization(normal_signal, count_set, k, x_min,
x_max);
end
figure(23)
[error_empiric_un, error_theoretic_un] = QuantizationError(normal_signal,
quantorization_signal_un, x_min, x_max)

figure(24)
error_SNR_un = QuantizationErrorSNR(normal_signal, quantorization_signal_un, x_min, x_max)

```

Имеем

error_empiric_norm	error_empiric_un
1.0386	13.2747
0.3267	2.2324
0.1118	0.5218
0.0281	0.1213
error_theoretic_norm	error_theoretic_un
8.3333	8.3333
2.0833	2.083
0.5208	0.5208
0.1302	0.1302
error_SNR_norm	error_SNR_un
5.5353	-5.5302
10.5582	2.2122
15.2150	8.5252
21.2175	14.8613

### Вывод:

Гипотеза подтверждается, оптимальное квантование действительно дает куда меньшую величину ошибки, нежели равномерное.